Zeitschrift: Schweizerische Bauzeitung

Herausgeber: Verlags-AG der akademischen technischen Vereine

Band: 75/76 (1920)

Heft: 17

Inhaltsverzeichnis

Nutzungsbedingungen

Die ETH-Bibliothek ist die Anbieterin der digitalisierten Zeitschriften auf E-Periodica. Sie besitzt keine Urheberrechte an den Zeitschriften und ist nicht verantwortlich für deren Inhalte. Die Rechte liegen in der Regel bei den Herausgebern beziehungsweise den externen Rechteinhabern. Das Veröffentlichen von Bildern in Print- und Online-Publikationen sowie auf Social Media-Kanälen oder Webseiten ist nur mit vorheriger Genehmigung der Rechteinhaber erlaubt. Mehr erfahren

Conditions d'utilisation

L'ETH Library est le fournisseur des revues numérisées. Elle ne détient aucun droit d'auteur sur les revues et n'est pas responsable de leur contenu. En règle générale, les droits sont détenus par les éditeurs ou les détenteurs de droits externes. La reproduction d'images dans des publications imprimées ou en ligne ainsi que sur des canaux de médias sociaux ou des sites web n'est autorisée qu'avec l'accord préalable des détenteurs des droits. En savoir plus

Terms of use

The ETH Library is the provider of the digitised journals. It does not own any copyrights to the journals and is not responsible for their content. The rights usually lie with the publishers or the external rights holders. Publishing images in print and online publications, as well as on social media channels or websites, is only permitted with the prior consent of the rights holders. Find out more

Download PDF: 01.12.2025

ETH-Bibliothek Zürich, E-Periodica, https://www.e-periodica.ch

INHALT: Auslauf-Fahrlinien in vereinfachter und berichtigter Darstellung. -Grundsätzliches zum internationalen Wettbewerb für die Arsta-Brücke bei Stockholm. -Wettbewerb für ein Bankgebäude in Luzern der Schweizer. Nationalbank. - Die Ausstellung "Baustoffe-Bauweisen". - Miscellanea: Verband Deutscher Architekten- und Ingenieur-Vereine. Eidgenössische Technische Hochschule. Ausstellung von Flugzeug-

Motoren in Winterthur. Ein Forschungs-Institut für Aluminium und seine Legierungen. Schweizerischer Wasserwirtschaftsverband. - Nekrologie: Julius Bircher. - Konkurrenzen: Protestantische Kirche in Châtelard-Montreux. — Literatur. — Vereinsnachrichten: Zürcher Ingenieur- und Architekten-Verein, Gesellschaft ehemaliger Studierender: Stellenvermittlung.

Band 76.

Nachdruck von Text oder Abbildungen ist nur mit Zustimmung der Redaktion und nur mit genauer Quellenangabe gestattet.

Nr. 17.

Auslauf-Fahrlinien

in vereinfachter und berichtigter Darstellung.

Von Professor Dr. W. Kummer, Ingenieur, Zürich.

Zur Beurteilung der Arbeitsverhältnisse elektrischer Fahrzeuge, sowie besonders auch elektrischer Förder-Maschinen werden graphische Darstellungen, bezw. Zeit-Geschwindigkeits-Diagramme in erster Linie, mit Recht geschätzt. Ausnahmsweise für elektrische Fahrzeuge, in der Regel jedoch für elektrische Fördermaschinen, bestehen solche Diagramme ausschliesslich aus geraden Linien. In Abbildung I zeichnen wir mit der Zeit t als Abszisse und der Geschwindigkeit v als Ordinate ein solches Diagramm, und zwar in derjenigen Ausführungsform, die für elektrische Fahrzeuge bei kurzen Abständen der Haltestellen von Interesse ist; unsere Abbildung gilt für elektrische Fördermaschinen mit konstantem Radius der Treibscheibe oder Trommel, sobald die leicht geneigte Gerade AB durch eine genau horizontale AB ersetzt wird. 1) Es ist allgemein: OA die Anfahrlinie, AB die Auslauflinie, BC die Bremslinie; wir betrachten also die horizontale Freilauflinie als Spezialfall der Auslauflinie. Ueber den für elektrische Fahrzeuge besonders wichtigen Fall einer gekrümmten Anfahrlinie OA werden wir uns noch besonders äussern.

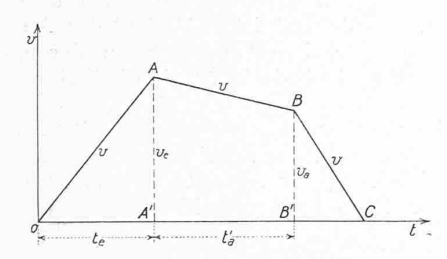


Abb. 1. Vereinfachte Zeit-Geschwindigkeits-

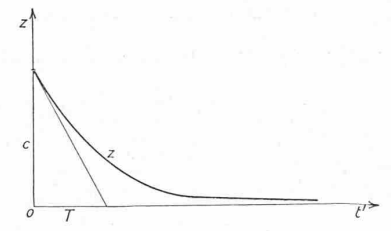


Abb. 2. Verlauf der Zugkraft

beim Abschalten des Motors.

Für die Anfahrgerade OA der Abbildung 1 gilt:

$$z = c = \text{konstant},$$
 $\frac{dv}{dt} = \gamma = \frac{g}{1000} \cdot (c - w) = \gamma_0 = \text{konstant}.$

Im Punkte A fällt z von c auf null infolge Abschaltung des treibenden Elektromotors. Der Vorgang dieser Abschaltung ist nun massgebend für den Uebergang von $rac{dv}{dt}$ vom Werte γ_0 auf null; dieser Uebergang kann in Wirklichkeit nicht in so kleiner Zeit erfolgen, wie Abb. 1 vortäuscht. Vielmehr erfolgt er auf Grund eines Zugkraft-Abfalls, für den wir gemäss Abbildung 2:

$$z = c \cdot e^{-\frac{t'}{T}}$$

setzen dürfen, wobei e=2,72 (Basis des natürlichen Logarithmen-Systems) ist und T eine "Zeitkonstante" darstellt, die mit der Zeitkonstanten der Ausschaltung der elektrischen Stromstärke des Motors in naher Beziehung steht. Indem wir diesen Ansatz in die allgemeine Beziehung

$$z = w + \frac{1000}{g} \cdot \frac{dv}{dt}$$

hinübernehmen, folgt

$$\frac{dv}{dt'} = \frac{g}{1000} \cdot (c \cdot e^{-\frac{t'}{T}} - w)$$

und durch Integration ergibt sich:

$$v = C_i - \frac{g}{1000} \cdot (c \cdot T \cdot e^{-\frac{t'}{T}} + w \cdot t').$$

Die Konstante Ci der Integration ergibt sich aus der Geschwindigkeit $v=v_{\epsilon}$ im Zeitpunkt t'=0 des Abschaltens zu:

$$C_i = v_e + \frac{g}{1000} \cdot c \cdot T.$$

Also gilt für den ganzen Abschaltvorgang:

$$v = v_e + \frac{g \cdot \epsilon \cdot T}{1000} \cdot (1 - e^{-\frac{t'}{T}} - \frac{w}{\epsilon \cdot T} \cdot t').$$

Während dieses Vorgangs sinkt die Beschleunigung gemäss der Formel:

$$\frac{dv}{dt'} = \frac{g \cdot c}{1000} \cdot \left(e^{-\frac{t'}{T}} - \frac{w}{c} \right).$$

Sobald das ebenfalls sinkende z den Wert w erreicht hat, wird $\frac{dv}{dt'} = 0$ und muss:

$$z = w$$
; $\frac{dv}{dt} = o$; $e^{-\frac{t'}{T}} = \frac{w}{c}$; $t' = T \cdot \lg \frac{c}{w}$

sein. Dabei erreicht v ein Maximum¹), das sich ergibt zu:

$$v_{\max} = v_{\epsilon} + \frac{g \cdot c \cdot T}{1000} \cdot \left[1 - \frac{w}{\epsilon} \cdot \left(1 + \lg \frac{\epsilon}{w} \right) \right] .$$
 (1)

und zur Zeit:

$$t'_m = T \cdot \lg \frac{c}{w}$$
 (2)

stattfindet. Dieser neue Zeitpunkt markiert nun den Beginn der berichtigten Auslauflinie, für die in der Gleichung:

$$v = v_e + \frac{g \cdot c \cdot T}{1000} \cdot (1 - e^{-\frac{t'}{T}} - \frac{w}{c \cdot T} \cdot t')$$

die Grösse:

$$e^{-\frac{t'}{T}}$$

somit ein "vereinfachtes" Diagramm, dem wir in der Folge ein im Punkte A "berichtigtes" Diagramm gegenüberstellen.
Die geradlinige Anfahrlinie OA der Abbildung 1
beruht auf der stillschweigenden Voraussetzung einer im Zeitabschnitt OA' wirkenden konstanten Zugkraft, die den ebenfalls konstant angenommenen Widerstand derart übertrifft, dass die durch das Verhältnis $\frac{AA'}{OA'} = \frac{v_e}{l_e}$ bestimmte Anfahrbeschleunigung 70 auftritt. Indem wir ein bewegtes Gewicht von I Tonne voraussetzen und die entsprechenden in kg/t gemessenen Grössen der Zugkraft mit z und des

Beim Betrachten der Abb. 1 muss sich jedermann

fragen, ob die scharfen Ecken bei A und bei B technisch

überhaupt möglich sind, bezw. ob sie nicht richtiger durch Abrundungen ersetzt werden. Die durch eine entsprechende Berichtigung eintretende Diagramm-Veränderung ist ohne weiteres wichtiger für den Punkt A, an dem die Energie-

Aufspeicherung ein Maximum ist, als für den Punkt B, der

lediglich den Beginn einer Periode der Energiebeseitigung markiert. Im folgenden befassen wir uns mit der Ab-

schätzung der quantitativen Bedeutung der Diagramm-Korrektur im Punkte A; es ist die Abbildung I für uns

Widerstandes mit
$$w$$
 bezeichnen, gilt für den Anfahrvorgang: $z=w+rac{1000}{g}\cdotrac{dv}{dt}$

wenn v in m/sek, t in sek und $g = 9.81 m/sek^2$ eingeführt werden.

1) Falls die unserer Rechnung zugrunde liegende Schaltoperation dazu dient, um vom Anlauf zum Freilauf zu gelangen, so ist $v_{
m max}$ die Ordinate der horizontalen Freilaufgeraden anstelle der von AB in Abbildung I.

¹⁾ Vergl. beispielsweise die Fördermaschinen-Diagramme auf S. 95 und 96 von Band LXXIV der «Schweiz, Bauzeitung» (23. August 1919).